# Über das Siliciumanalogon des Kristallvioletts

Von Ulrich Wannagat und Franz Brandmair

Mit 4 Abbildungen

#### Inhaltsübersicht

Die dem Kristallviolett analoge Siliciumverbindung  $[(CH_3)_2NC_6H_4]_3SiCl$ , das Tris-p-dimethylaminophenylsiliciumchlorid¹), wurde aus SiCl $_4$  und LiR²) dargestellt und in den chemischen und physikalischen Eigenschaften mit dem  $R_3CCl$  verglichen.  $R_3SiCl$  liegt nicht wie  $R_3CCl$  als salzartige Verbindung vor; aus Analogieschlüssen erscheint die Dilthey-Wizingersche Formulierung des Kristallvioletts als Carbeniumsalz unwahrscheinlich. Eine Reihe von Derivaten des  $R_3SiCl$  wie  $R_3SiOCH_3$ ,  $R_3SiNH_2$ ,  $R_3SiOSiR_3$  und  $R_3SiNHSiR_3$  wurden erstmalig dargestellt, ihre UR-Spektren ausgewertet. Die Überprüfung einer älteren Arbeit von Combes über die Oxydation des  $R_3SiH$  führte teils zu Bestätigungen, teils zu neuen Ergebnissen. Versuche, durch doppelte Umsetzungen in wasserfreien Lösungsmitteln zu Verbindungen mit  $R_3Si$ -Kationen zu gelangen, ergaben jeweils nur Zersetzungsprodukte der erhofften  $R_3Si$ -Verbindungen.

## 1. Einführung

Hatten die Ergebnisse der Siliciumforschung der letzten 50 Jahre ergeben, daß eine der "organischen" Chemie des Kohlenstoffs analoge Chemie des Siliciums nicht möglich ist, so führte doch der Austausch einzelner C- durch Si-Atome in organischen Verbindungen zu einer Fülle neuartiger technischer Produkte wie auch interessanter theoretischer Problemstellungen. Über viele Jahrzehnte hin blieb die Struktur der Triarylmethanfarbstoffe Diskussionsobjekt der Forschung, ihr stark salzartiger Charakter konnte nicht überzeugend gedeutet werden. Die ersten Anschauungen hatten ein Vorliegen chinoider Strukturen entsprechend Ia und Ib angenommen, später bildete sich vor allem durch Dilthey und Wizinger die Formulierung von Carbeniumsalzen II heraus, die auch heute noch als alleinige in manchen Lehr- und Hand-

¹) Diese Verbindung wird in der vorliegenden Veröffentlichung in der Gegenüberstellung zum Kristallviolett — nomenklaturgemäß nicht ganz korrekt — auch als Silicokristallviolett bezeichnet.

<sup>&</sup>lt;sup>2</sup>) R steht in dieser Abhandlung ausschließlich für die p-Dimethylaminophenyl-Gruppe  $(CH_3)_2N-C_6H_4-$ .

büchern vertreten ist. Gleichsam ein Kompromiß war die Formulierung einer Resonanz zwischen den Grenzzuständen mit chinoider (I) und mit Carbenium-Struktur (II)

$$\begin{bmatrix} (CH_3)_2 N & & & \\ (CH_3)_2 N & & & \\ & & & \end{bmatrix} x^-$$

$$\Leftrightarrow \begin{bmatrix} (CH_3)_2 N & & & \\ (CH_3)_2 N & & & \\ & & & \end{bmatrix} x^-$$

$$\Leftrightarrow \begin{bmatrix} (CH_3)_2 N & & & \\ (CH_3)_2 N & & & \\ & & & \end{bmatrix} x^-$$

$$\Leftrightarrow \begin{bmatrix} (CH_3)_2 N & & & \\ & & & \\ (CH_3)_2 N & & & \\ & & & \end{bmatrix} x^-$$

wobei die Benzolkerne sich in eine Ebene (mit geweiteter C<sub>zentral</sub>—Phenyl-Bindung ³) oder eventuell windmühlenflügelartig verkantet ⁴) ⁵)) einstellen sollen. Neuere Ergebnisse von Theilacker6) und von Förster7) deuten aber darauf hin, daß für die Stabilisierung der Triarylmethylkationen nur die Grenzformeln Ia und Ib von Gewicht sind, die Carbeniumformel II dagegen, wenn überhaupt, sieh nur bei höheren Anregungszuständen einstellt.

Von Interesse schien es nun, das zentrale C-Atom der Triarylmethanfarbstoffe gegen Si auszutauschen. Da Siliciumatome Vierelektronenbindungen nicht auszubilden vermögen, andererseits der polare Charakter der SiCl-Bindung allgemein wesentlich ausgeprägter als der der CCl-Bindung ist (Ionenbindungscharakter für C–Cl 6%, für Si–Cl 30%), sollte ein Si-analoger Triphenylmethanfarbstoff nur der Formel II entsprechend als  $[(\mathrm{CH_3})_2\mathrm{NC_6H_4}]_3\mathrm{Si^+}\,\mathrm{X^-}$ auftreten können und somit eine weitere Prüfung der Carbeniumsalzformel auf ihre Richtigkeit hin gestatten.

Das Problem, ein dem Kristallviolett analoges "Silicokristallviolett" (Tris-p-dimethylaminophenyl-siliciumchlorid) darzustellen, geht bereits auf Combes im Jahre 1896 zurück. Gelang es ihm auch nicht, die erwünschte Verbindung zu synthetisieren, so sind

<sup>3)</sup> G. KARAGOUNIS, Helv. chim. Acta 34, 994 (1951).

<sup>4)</sup> K. Ziegler, Angew. Chem. 61, 168 (1949).

<sup>5)</sup> B. EISTERT, Chemismus und Konstitution I, Ferd. Enke Verlag, Stuttgart 1948, S. 166.

<sup>6)</sup> W. THEILACKER u. W. SCHMID, Chem. Ber. 84, 204 (1951).

<sup>7)</sup> TH. FÖRSTER, vgl. Anmerkung Angew. Chem. 62, 336 (1950).

<sup>8)</sup> H. GILMAN u. G. E. DUNN, Chem, Rev. 52, 77 (1953).

seltsamerweise seine Versuche und Ergebnisse weder in Beilsteins Handbuch der Organischen Chemie noch in der 7. Auflage des Handbuches von Gmelin-Kraut verzeichnet; eine Nachbearbeitung seiner Versuche erschien somit wünschenswert. 1951 hatte Gilman<sup>3</sup>) im Rahmen einer präparativen Studie über p-Dimethylaminophenylsilanderivate auch das Tris-p-dimethylaminophenylchlorosilan dargestellt. Wir wurden auf diese Arbeit leider erst nach Erscheinen der Registerbände der Referatenorgane aufmerksam; von den in der Zwischenzeit erhaltenen eigenen Ergebnissen<sup>10</sup>) sollen hier nur die Abweichungen zu Gilman aufgezeigt werden.

## 2. Zur Darstellung des Tris-(p-dimethylaminophenyl)-chlorosilans

Combes<sup>11</sup>) versuchte das "Silicokristallviolett" nach dem gebräuchlichen Verfahren zur Darstellung von Triarylmethanfarbstoffen durch Oxydation der "Leukoverbindung" zu gewinnen. Diese Leukoverbindung, das Tris-(p-dimethylaminophenyl)-silan, konnte er durch Umsetzung von Silicochloroform (Trichlorsilan) mit p-Bromdimethylanilin analog der Wurzschen Methode gewinnen und daraus schließlich nach vielen vergeblichen Ansätzen durch Oxydation mit Quecksilber(I)-nitrat zur "Carbinolbase", dem Tris-(p-dimethylaminophenyl)-silanol, gelangen. Die Ausbeute war sehr gering, das dabei anfallende Hauptprodukt nicht näher untersucht worden. Die Combessche Carbinolbase konnte aber nicht in das Farbsalz übergeführt werden. R. Müller<sup>12</sup>) schloß daraus, daß Combes nicht das Silanol R<sub>3</sub>SiOH, sondern das entsprechende Disiloxan R<sub>3</sub>SiOSiR<sub>3</sub> in Händen hatte, dessen Überführung in das "Farbsalz" kaum gelingen könnte.

Die Nacharbeitung der Combesschen Versuche bestätigte im wesentlichen die von Combes gemachten Angaben. Die Wurtzsche Synthese ist aber für die Darstellung des Tris- (p-dimethylaminophenyl)-silans nicht besonders günstig, da die Substituierung der Si-liganden nach SiHCl<sub>3</sub> + 6 Na + 3 BrC<sub>6</sub>H<sub>4</sub>N (CH<sub>3</sub>)<sub>2</sub>  $\rightarrow$  HSi[C<sub>6</sub>H<sub>4</sub>N(CH<sub>3</sub>)<sub>2</sub>]<sub>3</sub> +3 NaCl + 3 NaBr bis zum Tetraalkylderivat fortschreitet und das R<sub>3</sub>SiH stark mit R<sub>4</sub>Si verunreinigt ist. In guter Ausbeute läßt sich dagegen SiCl<sub>4</sub> nach der Wurtzschen Methode in Tetra-(p-dimethylaminophenyl)-silan überführen. Die von uns erhaltene Verbindung schmolz mit 254–255° wesentlich höher als bei Combes (Schmp. 225°) und auch bei Gilman³) (Schmp. 234–235°).

Die Oxydation des Tris-(p-dimethylaminophenyl)-silans zum Silanol mit Quecksilber(I)-nitrat:  $[(CH_3)_2NC_6H_4]_3SiH + Hg_2(NO_3)_2 + HOH \xrightarrow[(+NaCi)]{} [(CH_3)_2NC_6H_4]_3SiOH + 2 Hg + 2 H^+ + 2 NO_3^- verläuft nur mit geringer Ausbeute (<math><30\%$ ), schon ein kleiner Überschuß des Quecksilbersalzes läßt sie völlig schwinden. Das von Combes bereits beobachtete, aber nicht näher untersuchte Hauptprodukt dieser Umsetzung konnte als p-Dimethylaminophenylquecksilberchlorid

<sup>9)</sup> H. GILMAN, M. A. PLUNKETT u. G. E. DUNN, J. Amer. chem. Soc. 73, 1686 (1951).

<sup>10)</sup> Diplomarbeit F. Brandmair, Aachen 1953.

<sup>&</sup>lt;sup>11</sup>) Ch. Combes, C. R. hebd. Séances Acad. Sci. 122, 622 (1896).

<sup>&</sup>lt;sup>12</sup>) R. MÜLLER, Chem. Technik 2, 41 (1950).

(CH<sub>3</sub>)<sub>2</sub>NC<sub>6</sub>H<sub>4</sub>HgCl vom Schmp. 225° identifiziert werden. Combes hatte tatsächlich das Silanol isoliert (R<sub>3</sub>SiOH; Schmp. 188–189°) und nicht, wie MÜLLER<sup>12</sup>) vermutete, das Disiloxan (Schmp. > 330°). Daß er durch Umsetzung mit Säuren in wäßriger Lösung kein Farbsalz, mit HCl also kein "Silicokristallviolett" erhalten konnte, ist in der Natur der Si-Cl-Bindung begründet und wird in Kapitel 6 eingehender diskutiert.

Versuche, zur Darstellung des  $R_3SiCl$  die Arylgruppen in das  $SiCl_4$  über die Grignardverbindungen gemäß  $SiCl_4 + 3$  Br $MgC_6H_4N(CH_3)_2 \rightarrow 3$  MgBr $Cl + ClSi[C_6H_4N(CH_3)_2]_3$  einzuführen, scheiterten an der Resistenz des p-Brom- bzw. p-Joddimethylanilins, sich mit Magnesium umzusetzen, Schwierigkeiten, auf die schon A. von Baever<sup>13</sup>) hingewiesen hatte. Von vornherein als aussichtlos erschien es, das Si-Kristallviolett nach der Wurtzschen Synthese darzustellen. Dafür war die Umsetzung mit p-Lithiumdimethylanilin <sup>14</sup>) erfolgreich:  $SiCl_4 + 3$   $LiC_6H_4N(CH_3)_2 \rightarrow 3$   $LiCl + ClSi[C_6H_4N(CH_3)_2]_3$ .

Gilman 9) setzte SiCl<sub>4</sub> mit dem ersten Drittel der Li-Verbindung bei -15 bis  $-20^{\circ}$  um, ließ den Rest bei Raumtemperatur zulaufen und kochte dann noch 48 Stunden am Rückfluß, bis sein Farbtest I negativ ausfiel. Das R<sub>3</sub>SiCl entstand in 60proz. Ausbeute, enthielt aber bis zu 8% an R<sub>4</sub>Si. Wir hatten vor Kenntnis der Gilmanschen Arbeit die gesuchte Verbindung so hergestellt, daß wir bei Raumtemperatur  $^2$ /<sub>3</sub> der Li-Verbindung langsam zutropften, dann das letzte Drittel unter starkem Rühren möglichst in einem Schuß zugaben, um durch eine hohe Konzentration an RLi das primär gebildete, recht beständige R<sub>2</sub>SiCl<sub>2</sub> möglichst rasch und vollständig in R<sub>3</sub>SiCl zu überführen und dessen Weiteralkylierung zu R<sub>4</sub>Si zu vermeiden. Die Ausbeute betrug dabei 60-70%.

Der Schmelzpunkt des mehrfach umkristallisierten "Silicokristallvioletts" lag mit 230–232° wesentlich höher als bei Gilman<sup>9</sup>) (212–213°). Es zeigte sich, daß hier wie bei anderen p-Dimethylaminophenylsilanderivaten der Schmelzpunkt am besten im geschlossenen Röhrchen bestimmt wird, da er unter Luftzutritt stets einige Grad tiefer gefunden wird; auch rekristallisiert dann die Substanz nicht mehr vollständig, weniger reine Fraktionen färbten sich gleichzeitig blau. Das "Silicokristallviolett" ist völlig farblos, löst sich gut in organischen Lösungsmitteln, nicht aber in Wasser, und zersetzt sich langsam am Licht, zeigt also ein ganz anderes Verhalten als das C-Kristallviolett.

TiCl<sub>4</sub> läßt sich nicht wie SiCl<sub>4</sub> mit p-Dimethylaminophenyl-lithium zu einem "Titanokristallviolett" umsetzen. Die Reaktion verläuft unübersichtlich, das Gemisch färbt sich violett (durch Ti³+), beim

<sup>&</sup>lt;sup>13</sup>) A. v. Baeyer, Ber. dtsch. chem. Ges. **38**, 2759 (1905).

<sup>&</sup>lt;sup>14</sup>) Die Regel, wonach Halogenide, die sich nur sehwer grignardieren lassen, in guter Ausbeute lithiumorganische Verbindungen liefern\*), bestätigte sich für dessen Darstellung einmal mehr.

<sup>\*)</sup> H. GILMAN, E. A. ZOELLNER u. W. M. SELBY, J. Amer. chem. Soc. 55, 1252 (1933).

Zutritt von Feuchtigkeit grün (Ti(III)-hydrat). Im Reaktionsprodukt läßt sich Tetramethylbenzidin nachweisen. Dies macht folgenden Reaktionsverlauf wahrscheinlich:  $2 \text{ TiCl}_4 + 2 \text{ RLi} \rightarrow 2 \text{ TiCl}_3 + 2 \text{LiCl} + \text{R-R}$ .

## 3. Si-substituierte Derivate des "Silicokristallvioletts"

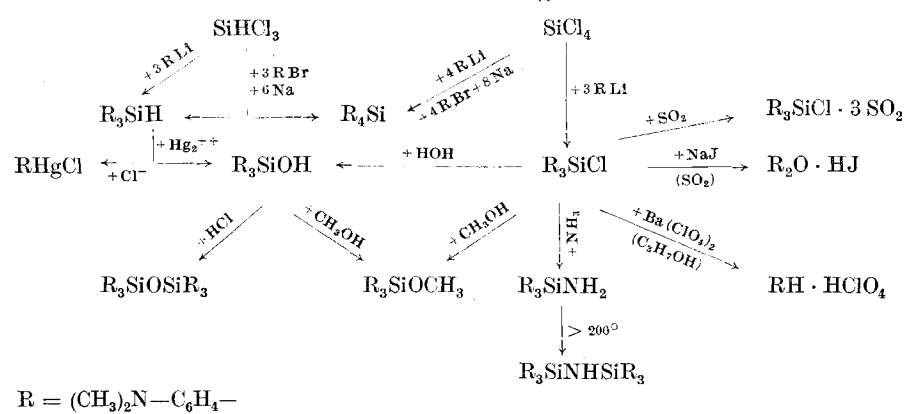


Abb. 1. Darstellung und Reaktionen des "Silicokristallvioletts"

Das "Silicokristallviolett" verhält sich Stoffen gegenüber, die die Si-Cl-Bindung angreifen, nicht wesentlich anders als etwa SiCl<sub>4</sub> selbst. So setzt es sich jeweils unter Bildung von HCl mit HOH zu Tris-(p- dimethylaminophenyl)-silanol R<sub>3</sub>SiOH (Schmp. 184-186°), mit CH<sub>3</sub>OH Tris-(p-dimethylaminophenyl)-methoxysilan R<sub>3</sub>SiOCH<sub>3</sub> (Schmp. 166-168°), mit NH<sub>3</sub> zu Tris-(p-dimethylaminophenyl)silazan R<sub>3</sub>SiNH<sub>2</sub> (Zers.  $\sim 170^\circ$ ) um. Diese Umsetzungen sprechen dafür, daß die ursprünglich stark homöopolare Bindung des Si-Cl im SiCl<sub>4</sub> zumindestens teilweise in ihrem Charakter erhalten geblieben ist. Das Silanol läßt sich mit CH<sub>3</sub>OH zum Methoxyderivat "verestern", mit HCl gibt es kein Chlorid, sondern wird in das Disiloxan übergeführt, es bildet nach GILMAN<sup>9</sup>) ferner ein Na-Salz, ihm kommt somit eher die Formulierung einer Säure R<sub>3</sub>SiO-H+ als die einer Base R<sub>3</sub>Si+OH- zu. Während das Silazan bereits beim Erhitzen auf 200° unter Abspaltung von NH3 in das Disilazan R<sub>3</sub>SiNHSiR übergeht, ist es schwieriger, ein Disiloxan darzustellen. Gilman<sup>9</sup>) versuchte ohne Erfolg, R<sub>3</sub>SiOSiR<sub>3</sub> aus R<sub>3</sub>SiONa mit ClSiR<sub>3</sub> in Xylol, aus Cl<sub>3</sub>SiOSiCl<sub>3</sub> mit 6 LiR oder durch Kondensation des RaSiOH zu gewinnen. Wir erhielten es durch Umsetzung von R<sub>3</sub>SiOH mit konz. HCl in der Kälte in einer Ausbeute von 30-35%.

## 4. Zur Darstellung von Salzen des R<sub>3</sub>Si<sup>+</sup>-Kations

Die Möglichkeit, daß RaSiCl in geeigneten Lösungsmitteln vielleicht doch in R<sub>2</sub>Si<sup>+</sup> und Cl<sup>-</sup> dissoziiert, wurde zuerst durch Überführungsversuche in flüssigen SO<sub>2</sub> geprüft. Si-Kristallviolett löst sich infolge seiner Dimethylaminogruppen darin sehr gut mit gelber Farbe, bei vorsichtigem Abdampfen des SO2 bleibt ein lehmgelbes bis ockerfarbenes (ne2 nach der Ostwaldschen Farbmeßtafel) Solvat R<sub>3</sub>SiCl·3SO<sub>2</sub> zurück. Die Lösung des R<sub>3</sub>SiCl ist bei -30° völlig beständig, es trat keine Solvolyse gemäß  $2 R_3 SiCl + SO_3^- \rightarrow R_3 SiO(SO)OSiR_3 + 2Cl^$ ein, bei der das aus SO++ (bzw. aus [R2SiC6H4N(CH3)2]2SO++) und 2 Cl- gebildete SOCl<sub>2</sub> sich nach dem Abdampfen des Lösungsmittelüberschusses verflüchtigt haben sollte 15). Eine weitgehende Veränderung geht allerdings beim Erwärmen der Lösung im Einschlußrohr auf Raumtemperatur vor sich, aus der tiefgrün gewordenen Lösung läßt sich das ursprüngliche Silicokristallviolett nicht wieder zurückgewinnen. Führt man die Elektrolyse der  $-30^{\circ}$  kalten Lösung mit Platinkathode und Silberanode durch, so bedeckt sich die Anode rasch mit einem dichten Überzug von AgCl, in der Lösung müssen offensichtlich Cl<sup>-</sup>-Ionen vorhanden gewesen sein. Ohne Stromfluß erfolgt keine Reaktion der Silberanode mit dem R<sub>3</sub>SiCl, sie wird auch nicht durch anodische Oxydation in reinem SO<sub>2</sub> angegriffen.

Während des Überführungsversuches steigt die Leitfähigkeit über lange Zeit hin an. Dies ließe sich vielleicht auf die Bildung von  $SO_2Cl_2$  zurückführen, das aus dem  $SO_2$  und dem an der Platinzuführung der Ag-Anode entwickelten  $Cl_2$  in Gegenwart der Dimethylaminogruppen des "Silicokristallvioletts" (Dimethylaminogruppen sind nach Horner und Podschus<sup>15</sup>) die wirksamsten Katalysatoren der Sulfurylchloridbildung aus  $SO_2$  und  $Cl_2$ ) leicht entstehen sollte. Die Lösung enthält nach Beendigung der Elektrolyse und nachfolgender Hydrolyse deutlich nachweisbare Mengen an  $SO_4$ -Ionen.

Nachdem die Elektrolyseversuche des Si-Kristallvioletts in flüssigem SO<sub>2</sub> die Dissoziation der Verbindung in R<sub>3</sub>Si<sup>+</sup> und Cl<sup>-</sup> wahrscheinlich gemacht hatten, versuchten wir durch doppelte Umsetzungen in geeigneten Lösungsmitteln Verbindungen aufzubauen, in denen die Polarität der kationischen R<sub>3</sub>Si-Gruppe mit dem anionischen Partner noch verstärkt sein mußte:

- a)  $R_3SiCl + AgClO_4$  (bzw.  $Ba(ClO_4)_2$ )  $\rightarrow AgCl \downarrow$  (bzw.  $BaCl_2 \downarrow$ ) + { $R_3Si^+ClO_4^-$ },
- b)  $2R_3SiCl + Ba(BF_4)_2 \rightarrow BaCl_2 \downarrow + \{R_3Si^+BF_4^-\},$
- ${\rm c)} \ R_3{\rm SiCl} \ + \ FeCl_3 \rightarrow \{R_3{\rm Si}^+FeCl_4^-\},$

<sup>&</sup>lt;sup>15</sup>) G. Jander, Die Chemie in wasserähnlichen Lösungsmitteln, Springer Verlag 1949, S. 285.

<sup>&</sup>lt;sup>16</sup>) L. Horner u. G. Podschus, Angew. Chem. **65**, 534 (1953).

oder in denen sich wenigstens ein anderes R<sub>3</sub>Si-Derivat bilden sollte: d)  $R_3SiCl + NaJ \xrightarrow{(n.so_2)} NaCl \downarrow + \{R_3SiJ\}$ . Wohl fallen nun die mit \upsilon bezeichneten Verbindungen in kurzer Zeit beim Zusammengeben der Ausgangskomponenten aus, woraus sich auf eine zumindestens kryptoionogene Reaktion schließen läßt, doch konnten die erhofften {R<sub>3</sub>Si}-Derivate aus den Lösungen (Benzol, Acetonitril, Cyclohexanon, Isopropanol, Aceton, fl. SO2) nicht isoliert werden. Offensichtlich besitzt das [(CH<sub>3</sub>)<sub>2</sub>NC<sub>6</sub>H<sub>4</sub>]<sub>3</sub>Si<sup>+</sup>-Kation infolge seiner koordinativen Dreiwertigkeit eine hohe Solvolyseempfindlichkeit oder ist ganz allgemein instabil und zerfällt unter rascher Abspaltung von (CH<sub>3</sub>)<sub>o</sub>NC<sub>6</sub>H<sub>4</sub>-Gruppen, wenn die stabilisierenden Lösungsmittelmolekeln wieder entfernt werden. So konnten in den Reaktionsprodukten der oben genannten Umsetzungen bei a) und Propanol als Lösungsmittel Dimethylphenylammoniumperchlorat (CH<sub>3</sub>)<sub>2</sub>NC<sub>6</sub>H<sub>5</sub> · HClO<sub>4</sub>, bei d) das 4.4'.-Bis-dimethylaminodiphenyläthermonohydrojodid  $[(CH_3)_2NC_6H_4]_2O \cdot HJ$  aufgefunden werden.

## 5. Absorptionsspektren des Si-Kristallvioletts<sup>17</sup>)

Trotz der Farblosigkeit des Si-Kristallvioletts in kristalliner Form wie auch in Lösung oder Suspension (die Gelbfärbung in fl. SO, ist bedingt durch die N(CH<sub>3</sub>)<sub>2</sub>-Gruppen, da sich Amine in dieser Flüssigkeit allgemein mit gelber Farbe lösen) blieb die Möglichkeit offen, daß diese Verbindung im nahen UV stark absorbiere und damit doch dem C-Kristallviolett vergleichbar wäre. Es sei daran erinnert, daß das dem intensiv blauen Cu(NH<sub>3</sub>)<sub>4</sub><sup>++</sup> weitgehend analog gebaute, aber vergleichsweise nur schwach blaue Cu(OH<sub>2</sub>)<sup>++</sup> sehr verstärkt im nahen UR absorbiert. In der Tat findet sich nun beim Si-Kristallviolett im nahen UV ein ausgeprägtes Absorptionsmaximum bei 282 mμ, das dem des C-Kristallvioletts bei 590 m $\mu$  unter vergleichbaren Bedingungen (äquimolare Lösungen in CHCl<sub>3</sub> 18)) entspricht (Abb. 2). Allerdings zeigt auch dieses bei 255 und bei 305 m $\mu$  schwache Absorption, und Verbindungen wie  $[(CH_3)_2NC_6H_4](C_6H_5)_2SiOH$  oder  $[(CH_3)_2NC_6H_4]_3SiOH$ und ihre C-Analoga, die als Carbinolbasen praktisch keine Farbwirkung bei sichtbarem Licht aufweisen, absorbieren in äthanolischer Lösung

<sup>&</sup>lt;sup>17</sup>) Für die Vermittlung der Aufnahmen des C- und Si-Kristallvioletts bei den Farbwerken Höchst möchten wir Herrn Prof. Dr. G. Ehrhart, für die der R<sub>3</sub>Si-Derivate bei den Samuel Sadtler Research Laboraries in Philadelphia, PA, Mr. Philip Sadtler unseren herzlichen Dank sagen.

<sup>&</sup>lt;sup>18</sup>) Nach A. Hantzsch, Ber. dtsch. chem. Ges. 52, 511 (1918) ist das Spektrum des Kristallvioletts von der Art des Lösungsmittels (H<sub>2</sub>O, C<sub>2</sub>H<sub>5</sub>OH, CHCl<sub>3</sub>, (CH<sub>3</sub>)<sub>2</sub>O) nur geringfügig beeinflußt.

nach GILMAN <sup>19</sup>) gleichfalls, wenn auch schwächer, in jenem Bereich (Abb. 3). Es soll noch geprüft werden, ob diese starke Absorption im nahen UV nur auf der allgemeinen Beobachtung beruht, wonach bei der Einführung von  $N(CH_3)_2$ -Gruppen in den Benzolkern die Absorptionsmaxima in den längerwelligen Bereich verschoben werden, oder ob dabei noch ein weiterer Effekt hinzukommt, der dem beim Übergang Triphenylchlormethan—Kristallviolett vergleichbar ist.

Betrachtet man die UR-Spektren des C- und des Si-Kristallvioletts, so erkennt man sofort wesentliche Unterschiede: im Si-Kristallviolett finden sich die Banden des Dimethylanilins ausgeprägt wieder, im C-Kristallviolett sind sie oft abgeschwächt, teilweise ganz verschwunden. Bei der Formulierung des Kristallvioletts als Carbeniumsalz [(CH<sub>3</sub>)<sub>2</sub>N——], C+Cl- sollten aber gerade die p-Dimethylamino-

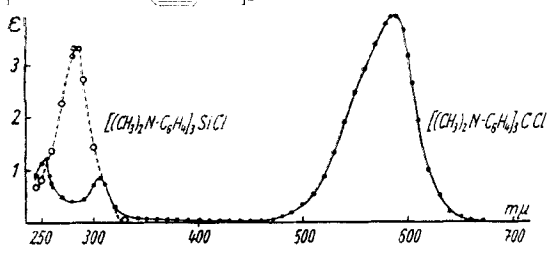


Abb. 2. Absorptionsspektren von Siund von C-Kristallviolett in CHCl<sub>3</sub> (5·10<sup>-5</sup> mol. Lösung)

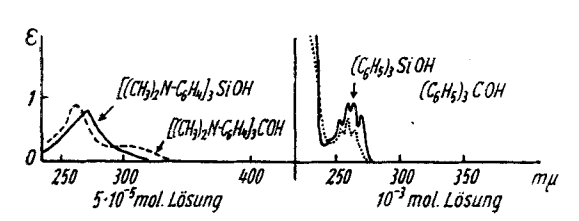


Abb. 3. Absorptions spektren einiger analoger Si- und C-Verbindungen nach GILMAN (in  $C_2H_5\mathrm{OH}$ )

phenyl-Gruppen nahezu im gleichen Maße wie Dimethylanilin absorbieren können: daß sie es nicht tun, weist darauf hin, daß weitgehend andere Verhältnisse vorliegen müssen, eben die der Resonanz zwischen den verschiedenen Grenzzuständen mit kationisehem Stickstoff und chinoider Struktureines Benzolkerns (vgl. Tabelle 2). Die für die CCl-Bindung charakteristische quenz bei 800 cm<sup>-1</sup> tritt im Kristallviolett nicht Die Frage nach auf. dem Bindungszustand der

SiCl-Bindung im R<sub>3</sub>SiCl läßt sich aus den vorhandenen Spektren leider nicht ersehen, da die zugehörigen Frequenzen im Bereich 500 cm<sup>-1 20</sup>) im ferneren UR liegeu und bei der NaCl-Prismenanfnahmetechnik nicht mit erfaßt werden konnten. Die bei 3,9 und bei 4,1  $\mu$  — sowie die wahrscheinlich bei 11,2  $\mu$  — vorhandenen Banden finden sich von allen R<sub>3</sub>Si-

<sup>19)</sup> H. GILMAN u. G. E. DUNN, J. Amer. chem. Soc. 72, 2178 (1950).

<sup>&</sup>lt;sup>20</sup>) A. LEE SMITH, J. chem. Physics 21, 1997 (1953).

Derivaten nur beim R<sub>3</sub>SiCl und müssen Ober- bzw. Kombinationsschwingungen sein, an denen die Grundfrequenz der Si-Cl-Bindung

beteiligt ist. Sie finden sich auch nicht in uns zugänglichen UR-Spektren von anderen Derivaten mit Si-Cl-Bindung und scheinen somit spezifisch für das "Si-Kristallviolett" zu sein.

Ebenso charakteristisch ist die Bande bei 13,6μ für R<sub>3</sub>SiOCH<sub>3</sub>. Die Bande bei 9,3 μ findet sich nur bei R<sub>3</sub>SiOCH<sub>3</sub> und bei R<sub>3</sub>SiOSiR<sub>3</sub>. Die isoelektronischen Verbindungen R<sub>3</sub>SiCl, R<sub>3</sub>SiOH und R<sub>3</sub>SiNH<sub>2</sub> zeigen allein eine verwaschene Bande bei 11,6-11,8 μ. Die relativ stärksten Abweichungen unter den R<sub>3</sub>Si-Derivaten finden sich beim R<sub>3</sub>SiH. Die für die stretching-Schwingung charakteristische Bande der Si-H-Bindung bei 4.76  $\mu$  (2102 cm<sup>-1</sup>) ist niedrigeren Frequenzen hin  $(4.88 \, \mu = 2050 \, \text{cm}^{-1}) \, \text{verschoben},$ dieses bedeutet allgemein eine Negativierung des Wasserstoffs21), die p-N(CH<sub>3</sub>)<sub>2</sub>-Gruppen scheinen also die Polarität der SiX-Bindung zu erhöhen. Auch die bending-Schwingung der SiH-Bindung bei 12,6  $\mu$ zeigt eine ähnliche Verschiebung:  $805 \text{ cm}^{-1} \text{ im } (C_6H_5)_3\text{SiH}, 790 \text{ cm}^{-1}$ im RaSiH. Der von Kaplan 22) erhobene Einwand, daß an Hand seiner Spektren für  $(C_6H_5)_3SiH$ (C<sub>6</sub>H<sub>5</sub>)<sub>3</sub>SiD eine Zuordnung der Banden bei 1100 cm (9,0 μ) zur Si-Ostretching-Schwingung nach CHARDS<sup>23</sup>) zweifelhaft sei, ist nicht ganz stichhaltig: die starke Bande bei 1100-1115 cm<sup>-1</sup> tritt wohl auch bei allen unseren Spektren auf und ist der Si-Phenyl-Bindung zuzu-

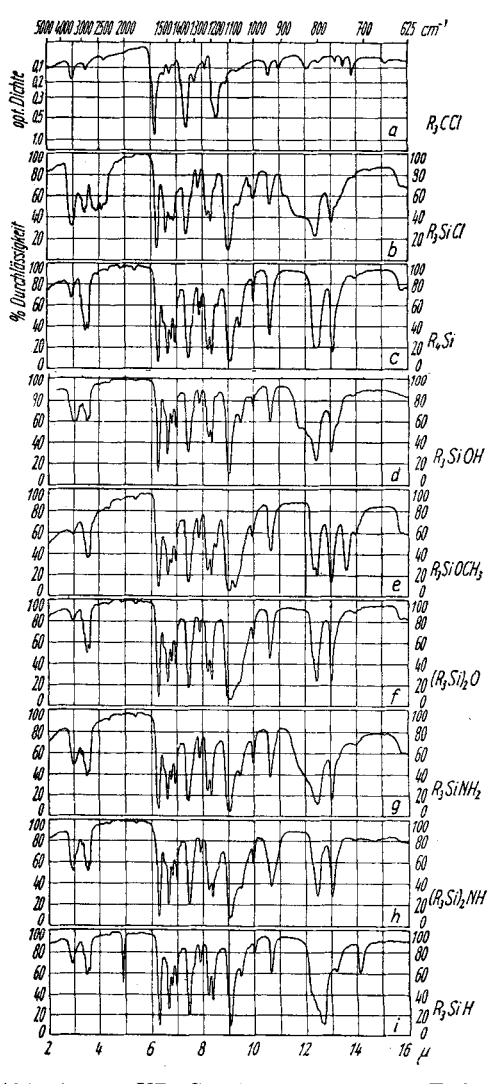


Abb. 4a-i. UR-Spektren einiger Tris-(p-dimethylaminophenylsilicium)-Verbindungen

<sup>&</sup>lt;sup>21</sup>) H. Siebert, Z. anorg. allg. Chem. 274, 24 (1953).

<sup>&</sup>lt;sup>22</sup>) L. KAPLAN, J. Amer. chem. Soc. **76**, 5880 (1954).

<sup>&</sup>lt;sup>23</sup>) R. E. RICHARDS u. H. W. THOMPSON, J. chem. Soc. [London] 1949, 124.

sehreiben, daneben erscheint aber bei 1070-1080 cm<sup>-1</sup> eine weitere ausgeprägte Bande nur bei R<sub>3</sub>SiOCH<sub>3</sub> und R<sub>3</sub>SiOSiR<sub>3</sub> in Einklang mit den Banden der Phenylsilanole und -siloxane von RICHARDS. (Seltsam ist, daß diese 1080 cm<sup>-1</sup>-Bande nicht auch von R<sub>3</sub>SiOH geliefert wird.) Dagegen müssen wir mit KAPLAN die bei 800 cm<sup>-1</sup> liegende Bande der Si-H-Bindung und nicht der Si-Cl-Bindung wie bei RICHARDS zuordnen, da sie weder im R<sub>3</sub>SiCl noch im (C<sub>6</sub>H<sub>5</sub>)<sub>3</sub>SiCl auftritt. Eine Zuordnung der Banden der R<sub>3</sub>Si-Derivate zur Si-Phenyl-Bindung ist sehr erschwert durch die Tatsache, daß ein großer Teil der Banden des Dimethylanilins und des Tetraphenylsilans zusammenfallen (vgl. Tabelle 2). Eindeutig läßt sich nur die starke Absorption bei  $9.0~\mu$  sowie die schwächere bei 7,95  $\mu$  auf Si-Phenyl-Schwingungen zurückführen. Die von Kaplan gleichfalls für die Si-Phenyl-Bindung angeführte Bande bei 6,25  $\mu$ , die in den R<sub>3</sub>Si-Verbindungen außerordentlich stark ausgeprägt ist, findet sich nicht im  $Si(C_6H_5)_4$ , dafür aber gleichfalls sehr stark im Dimethylanilin und im Kristallviolett. Nicht gedeutet werden können die in den  $R_3$ Si-Verbindungen auftretenden Banden bei 3,0, 12,3 und 13,0  $\mu$ . Die erstere schwankt stark in ihrer Intensität und findet sich auch im Kristallviolett, die letztere ist im Spektrum des R<sub>3</sub>SiH nicht vorhanden.

### 6. Vergleichende Betrachtungen über C- und Si-Kristallviolett

R<sub>3</sub>SiCl und R<sub>3</sub>CCl besitzen trotz großer Ähnlichkeit im Formelbild und der nahen Verwandtschaft zwischen C und Si so weitgehend verschiedene Eigenschaften in chemischer und in physikalischer Hinsicht, daß es schwer fällt, Beziehungen zwischen ihnen aufzuzeigen. R3CCl ist violett gefärbt, in der neutral reagierenden wäßrigen Lösung vollständig in R<sub>3</sub>C<sup>+</sup> und Cl<sup>-</sup> dissoziiert, doppelte Umsetzungen in diesem Lösungsmittel laufen leicht und störungsfrei ab. R<sub>3</sub>SiCl ist dagegen farblos, in wäßrigem Medium wird es, ohne sich zu lösen, langsam zu RaSiOH hydrolysiert, doppelte Umsetzungen selbst in wasserfreien Lösungsmitteln führen meist zu rascher Zersetzung des wahrscheinlich primär gebildeten R<sub>3</sub>Si<sup>+</sup>-Kations. Während das Cl-Atom an das Si-Atom ziemlich fest gebunden bleibt und dem SiCl4 gegenüber nur unwesentlich gelockert erscheint, ist im R<sub>3</sub>CCl · 9 H<sub>2</sub>O das Chloridion völlig abgelöst und "vagabundiert" in dem durch das [R<sub>3</sub>C]<sup>+</sup> bestimmten, große Zwischenräume aufweisenden Ionengitterverband 24); eine CCl-Bindung ist auch ultrarotspektrographisch nicht im wasserfreien R<sub>3</sub>CCl nachzuweisen. Wollte man aus Analogiebeziehungen des Periodensystems vom R<sub>3</sub>SiCl auf das R<sub>3</sub>CCl zurückschließen, so wäre für dieses eine weitgehend homöopolare, ungefärbte, in Wasser nur schwer lösliche Verbindung zu erwarten. Vergleicht man das bereits bekannte System (C<sub>6</sub>H<sub>5</sub>)<sub>3</sub>ElCl (El = Elemente der 4. Hauptgruppe des Periodensystems), so erkennt man vom  $(C_6H_5)_3$ SnCl über  $(C_6H_5)_3$ GeCl zum  $(C_6H_5)_3$ SiCl hin die erwartete ständige Abnahme der Polarität der El-Cl-Bindung, dann aber wieder eine sprunghafte Zunahme beim (C<sub>6</sub>H<sub>5</sub>)<sub>3</sub>CCl, das sich wie das Salz

<sup>&</sup>lt;sup>24</sup>) H. Krebs, Fortschr. Mineralog. 26, 79 (1947).

einer schwachen Base verhält. Für die Polaritätszunahme kann nur eine Resonanz im Triphenylcarbeniumion [(C<sub>6</sub>H<sub>5</sub>)<sub>3</sub>C]<sup>+</sup> verantwortlich gemacht werden, die positive Ladung ist nicht auf das zentrale C-Atom beschränkt, sondern auch über Phenyl-C-Atome verteilt 25). Ähnliche Verhältnisse darf man im System RaElCl erwarten; die Unterschiede im chemischen Verhalten zwischen  $(C_6H_5)_3$ SiCl und  $[(CH_3)_2NC_6H_4]_3$ SiCl sind in der Tat nicht groß, die Polarität scheint etwas anzusteigen. Auch hier kann der übergroße Polaritätsanstieg zum R<sub>3</sub>CCl hin nur durch Resonanzstabilisierung des Tris-p-dimethylanimophenylcarbenium-ions erklärt werden, bei dem die positiven Ladungen wahrscheinlich sogar nur auf die N-Atome lokalisiert bleiben. Aus den Eigenschaften und Reaktionen des RaSiCl jedenfalls kann man schließen, daß eine Kristallviolettstruktur mit positiv geladenem zentralen C-Atom, wie sie in dieser Formulierung auf Dilthey und Wizinger zurückgeht, in hohem Maße unwahrscheinlich ist. Ob der Carbeniumstruktur im Mesomeriesystem der Formeln I und II ein Gewicht zukommt, kann von den vorliegenden Untersuchungen her nicht beantwortet werden.

# Experimentelles<sup>26</sup>)

### 1. Ausgangsprodukte

SiCl<sub>4</sub> stand zur Verfügung, SiHCl<sub>3</sub> wurde wie üblich dargestellt, eine besondere Reinigung der mehrfach destillierten Verbindungen von gelöstem HCl<sup>27</sup>) war nicht nötig. Zur Darstellung von p-Dimethylaminophenyllithium 28), p-Bromdimethylanilin 29) und p-Joddimethylanilin (analog der Darstellung von p-Jodanilin nach Organ. Synth., Comp. II, 347) benutzten wir die angeführten Vorschriften. Die käuflichen Lösungsmittel zur doppelten Umsetzung des R<sub>3</sub>SiCl (Acetonitril, Cyclohexanon, Isopropanol, Benzol) wurden über geeigneten Entwässerungsmitteln getrocknet und durch wiederholtes Destillieren gereinigt. Aceton ließ sich nicht 100proz. wasserfrei darstellen. Als günstigste Methode, die mit Al(OC<sub>2</sub>H<sub>5</sub>)<sub>3</sub> in Xylol nur noch Spuren von H<sub>2</sub>O im Aceton anzeigte, erwies sich folgende: Aceton wurde über CaCl2 mehere Tage an einer Rundlaufkolonne destilliert, die Fraktion vom Sdp. 56° mit trockenem NaJ im Überschuß versetzt, der Kolben gut verschlossen in eine Eis/Kochsalz-Mischung gesetzt, von den ausgeschiedenen Kristallen (NaJ · 3 CH<sub>3</sub>COCH<sub>3</sub><sup>30</sup>) schnell dekantiert und erneut fraktioniert destilliert. Die Hauptmenge der Feuchtigkeit ist an das NaJ gebunden. — Die Umsetzungen mit lithiumorganischen Verbindungen sowie die Reaktionen in fl. SO2 und in fl. NH3 wurden in den dafür allgemein üblichen Apparaturen durchgeführt.

<sup>&</sup>lt;sup>25</sup>) B. EISTERT, l. c. S. 125.

<sup>&</sup>lt;sup>26</sup>) Einzelheiten siehe Dissertation F. Brandmair, Aachen 1955.

<sup>&</sup>lt;sup>27</sup>) U. Wannagat u. R. Schwarz, Z. anorg. allg. Chem. 277, 73 (1954).

<sup>&</sup>lt;sup>28</sup>) H. GILMAN, E. A. ZOELLNER u. W. M. SELBY, J. Amer. chem. Soc. 55, 1252 (1933).

<sup>&</sup>lt;sup>29</sup>) K. Fries, Liebigs Ann. Chem. **346**, 178 (1906).

<sup>&</sup>lt;sup>30</sup>) K. Shipsey u. E. A. Werner, J. chem. Soc. [London] **103**, 1255 (1913).

### 2. Tris-(p-dimethylaminophenyl)-silan

Darstellung: a) nach Combes 11) durch Mischen von 10 g SiHCl3 mit 50 g p-Bromdimethylanilin in 100 ml abs. Äther und Zugabe der flockigen Suspension (vermutlich eine Additions verbindung mit Si-N-Bindung wie bei SiHCl<sub>3</sub>-Pyridin<sup>27</sup>) zu 16 g Na-Draht in 150 ml Äther. Unter Aufsieden des Äthers ging der Niederschlag langsam in Lösung. Die ausfallenden Reaktionsprodukte wurden mehrfach mit Äther extrahiert. Aus den ätherischen Auszügen konnten nach Abdampfen des Lösungsmittels und mehrfacher Umkristallisation mit Aceton und CH<sub>3</sub>OH/CHCl<sub>3</sub> 2 g der reinen Verbindung vom Schmp. 152 bis 158° gewonnen werden. Der Rückstand erwies sich aus Benzol umkristallisiert als Tetrakis-(p-dimethylaminophenyl)-silan, Schmp. 254-255°. Die Trennung der beiden Produkte ist zeitraubend, die Ausbeute unbefriedigend. b) aus p-Dimethylaminophenyllithium und SiHCl<sub>3</sub> in abs. Äther unter N<sub>2</sub> wie auch schon bei Gilman<sup>9</sup>) (Ausbeute 50%) beschrieben, Ausbeute 60%, Schmp. 158°. In 98proz. Ausbeute hat Gilman die Verbindung durch Reduktion von R<sub>3</sub>SiCl mit LiAlH<sub>4</sub> gewonnen. [(CH<sub>3</sub>)<sub>2</sub>NC<sub>6</sub>H<sub>4</sub>]<sub>3</sub>SiH löst sich gut in Aceton, Benzol und Äther, sehwer in Petroläther und ist gegen die Einwirkung von Wasser sehr beständig. Aus Aceton kristallisiert es farblos. Schmp. 158° (Combes 152°, Gilman 157°) UR-Spektrum siehe S. 231. Analyse:  $C_{24}H_{31}N_3Si$ , ber. gef.: %C 74,00-73,77/73,58; %H 8,04-7,99/8,12; %N 10,79-10,69/10,60; %Si 7,19 - 7,35/7,47; Mol. 389,6-397 (in Campher).

### 3. Tetrakis-(p-dimethylaminophenyl)-silan

Darstellung: a) nach Combes aus  $\mathrm{SiCl_4}$  und p-Bromdimethylanilin mit Na-Draht in Äther mit guter Ausbeute, b) als Nebenprodukt bei der in Abschnitt 2a beschriebenen Umsetzung, c) 0,04 molare p-Lithiumdimethylanilinlösung wurde unter Rühren zu 1,7 g (0,01 Mol)  $\mathrm{SiCl_4}$  in 50 ml abs. Äther unter  $\mathrm{N_2}$  bei Raumtemperatur zugetropft. Ein anfangs entstehender blauer Farbstoff wird von dem ausfallenden LiBr adsorbiert und stört nicht weiter. Die Reaktion war lebhaft (ein Zutropfen bei -10 bis  $-20^\circ$  und nachfolgendes 60stündiges Kochen am Rückfluß, wie Gilman³) es angibt (Ausbeute 86%), ist indes nicht nötig) und nach weiterem 10min. Erwärmen beendet. Das ätherunlösliche Reaktionsprodukt wurde mit Benzol extrahiert, Ausbeute 4,4 g (86%).

 $[(CH_3)_2NC_6H_4]_4Si$  kristallisiert aus Benzol farblos und schmilzt im verschlossenen Röhrchen bei 254—255° (COMBES 225°, GILMAN 234—235°), ist schwer löslich in Äther und gegen Wasser praktisch resistent. Analyse:  $C_{32}H_{40}N_4Si$ , ber. — gef.: %C 75,60 — 75,32/75,24; %H 7,93—7,82/7,78; %N 11,01—10,95/10,95; %Si 5,51—5,58/5,63; Mol. 508,7—512 (kryosk. in Benzol).

### 4. Tris-(p-dimethylaminophenyl)-chlorosilan

Darstellung (vgl. S. 236): Zu 3,4 g SiCl<sub>4</sub> (0.02 Mol) in 20 ml Äther werden bei Raumtemperatur unter N<sub>2</sub> 0,04 Mol ätherische  $(CH_3)_2NC_6H_4Li$ -Lösung unter Rühren langsam zugetropft, dann weitere 0,02 Mol der RLi-Lösung in einem Schuß unter starkem Rühren zugegeben, die äther. Suspension 24 Stunden unter Rückfluß erhitzt, der Äther abgedampft und das Reaktionsprodukt mehrfach mit Benzol extrahiert. Nach Einengen der bräunlichen Lösung bis zur Kristallisation, Abnutschen der Kristalle, Wiederauflösen in Benzol, raschem Abfiltrieren der gesättigten Lösung von Verunreinigungen durch eine G4-Fritte, Erkaltenlassen und mehrfacher Wiederholung dieser Reinigungsoperation lassen sich schließlich schön ausgebildete, bis zu 1 cm lange Kristalle der Verbindung in einer Rohausbeute von 60-70% gewinnen. Zur Entfernung eventuell entstandener

blauer Farbstoffe nimmt man in wenig Aceton auf, filtriert und wäscht das befreite Produkt mit Äther nach.

 $[(CH_3)_2NC_6H_4]_3SiCl$  ist gut löslich in  $CHCl_3$ ,  $CCl_4$  und heißem Benzol, nur wenig in Äther und kaum in Petroläther. In konz.  $H_2SO_4$  löst es sich unter stürmischer Entwicklung von HCl klar auf. Der Schmelzpunkt der reinen Verbindung liegt in verschlossenem Röhrchen bei  $230-232^\circ$  (GILMAN  $212-213^\circ$ ). Die Substanz ist nicht unbegrenzt beständig, an feuchter Luft zersetzt sie sich langsam, wobei ein Geruch nach Dimethylanilin auftritt, doch auch über  $P_2O_5$  und selbst im Vakuum aufbewahrte Proben werden mit der Zeit klebrig und zeigen den gleichen Geruch. Besonders deutlich ist der zersetzende Einfluß des Lichtes, das schon nach einer Woche eine Gelbfärbung der Probe hervorruft, während die Schattenseite unverändert bleibt. Über die Absorptionsspektren im Bereich 0.250-0.700 und 2-16  $\mu$  siehe S. 231. Analyse:  $C_{24}H_{30}N_3ClSi$ , ber. -gef.: (Mittelwerte aus 2-5 Bestimmungen): %C 68.00-68.64; %H 7.14-7.35; %N 9.91-9.89; %Cl 8.37-8.39; %Si 6.62-6.81.

### 5. Tris-(p-dimethylaminophenyl)-silanol

Darstellung: a) durch Oxydation von R<sub>3</sub>SiH nach Combes<sup>11</sup>). lg R<sub>3</sub>SiH wurde in 100 ml  $0.2 \text{ nH}_2\text{SO}_4$  kalt gelöst und sehr vorsichtig mit einer verd. Lösung von  $\text{Hg}_2(\text{NO}_3)_2$ versetzt, bis kein schwarzer Niederschlag mehr ausfiel, das überschüssige Hg2+ mit NaCl-Lösung gefällt, Hg<sub>2</sub>Cl<sub>2</sub> abfiltriert und das Filtrat mit Sodalösung versetzt. Abtrennen, Waschen mit Wasser und Ätherextraktion des daraufhin ausfallenden Niederschlags führte nach Abdampfen des Äthers und Umkristallisation aus Benzol zur gewünschten Verbindung (Schmp. 178°) in einer Ausbeute von  $\sim 30\%$ . Ob bei dieser Reaktion tatsächlich eine Oxydation ≡SiH → ≡SiOH oder nur eine Hydrolyse  $\equiv$ SiH + OH<sup>-</sup>  $\Rightarrow$   $\equiv$ SiOH + H<sup>-</sup> stattgefunden hat, ist nicht näher untersucht worden. Gegen alkalische Hydrolyse ist  $R_3SiH$  unerwartet beständig $^9$ ). Der Rückstand der Ätherextraktion kristallisiert aus einer heißgesättigten Lösung in CHCl<sub>3</sub> in silbrig schimmernden Blättchen vom Schmp. 225° (Zers.), die unlöslich in Äther und Alkohol, schwer löslich in Benzol waren, Hg und Cl enthielten, sich an der Luft schwarz färbten und als p-Dimethylaminophenylquecksilberchlorid  $C_8H_{10}ClHg$  (Schmp. 225° Lit.) identifiziert werden konnten. b) Durch Hydrolyse des Rohproduktes der Umsetzung von SiCl4 mit 3 RLi ist das Silanol zuerst von Fleming<sup>31</sup>) beschrieben worden, auf gleichem Wege gelangte Gilman $^9$ ) über das isolierte  $R_3SiCl$  zu dieser Substanz. Wir lösten  $R_3SiCl$  in verd. H<sub>2</sub>SO<sub>4</sub>, fällten mit verd. NH<sub>4</sub>OH, wuschen den Niederschlag Cl<sup>-</sup>-frei, trockneten und extrahierten dann mit Äther. Die Ausbeute des aus dem heißen Äther kristallisierenden Produktes vom Schmp. 186° betrug über 90%. Der Mischschmelzpunkt zweier nach a) und b) dargestellten Produkte lag bei 182° und zeigte damit ihre Identität.

[(CH<sub>3</sub>)<sub>2</sub>NC<sub>6</sub>H<sub>4</sub>]<sub>3</sub>SiOH kristallisiert aus Äther in schön ausgebildeten würfeligen Kristallen, die bei 186° schmelzen (Combes 188°, Gilman 183—184°), löst sich gut in Benzol und Chloroform, weniger gut in CH<sub>3</sub>OH und Äther. Es ist gegen NH<sub>4</sub>OH sehr beständig, 6stdg. Kochen des R<sub>3</sub>SiCl damit (zur quant. Best. des Cl<sup>-</sup>) führt noch in 70 bis 80proz. Ausbeute zu R<sub>3</sub>SiOH, ohne daß die Si—C-Bindung nennenswert angegriffen wird. Die Existenz eines Ätherats, von dem Combes berichtete, konnte nicht bestätigt werden. Analyse: C<sub>24</sub>H<sub>31</sub>ON<sub>3</sub>Si: ber. — gef.: %N 10,37—10,50/10,58; %Si 6,91—7,02/7,10; Mol. 405,6—454 (kryosk. in Naphthalin).

<sup>31)</sup> R. Fleming jr., Corning Glass Works, U. S. Pat. 238 652 (1945).

### 6. Tris-(p-dimethylaminophenyl)-methoxysilan

Darstellung: a) Eine Suspension von lg R<sub>3</sub>SiCl in etwa 30 ml NH<sub>3</sub>-gesättigtem abs. CH<sub>3</sub>OH wurde 2 Stunden gekocht, das Lösungsmittel vollständig abdestilliert und der Rückstand mit abs. Äther extrahiert. Aus der ätherischen Lösung ließen sich 0.9 g des Methoxyderivates (Ausbeute 90%, Schmp. 166°) isolieren, der Rückstand erwies sich als NH<sub>4</sub>Cl. b) Dieselbe Verbindung bildet sich auch beim Kochen des Silanols mit Methanol, Schmp. 168°. Der Mischschmelzpunkt zweier nach a) und b) gewonnener Produkte lag bei 167°.

 $[(CH_3)_2NC_6H_4]_3SiOCH_3$  ist ziemlich gut löslich in Benzol, mäßig in  $CH_3OH$  und in Äther, die farblosen Kristalle aus Methanol schmelzen bei 166–168°. Analyse:  $C_{25}H_{33}ON_3Si$ , ber. — gef. %N 10,01—10,05/10,10; %Si 6,68—6,70/6,84; %OCH<sub>3</sub> 7.40 — 7,63/7,68.

### 7. Hexakis-(p-dimethylaminophenyl)-disiloxan

Darstellung: R<sub>3</sub>SiOH wurde in konz. HCl gelöst, nach 5 Minuten auf das 2-3-fache Volumen verdünnt, wieder mit NH<sub>4</sub>OH gefällt, der Niederschlag getrocknet und mit Äther erschöpfend extrahiert. Im Ätherextrakt befand sich unverändertes Silanol. Anschließende Extraktion mit Benzol ergab das gewünschte Produkt mit 30-35% Ausbeute. Aus dem Ätherextrakt konnten durch erneute Salzsäurebehandlung eine 2. und 3. Fraktion des Disiloxans gewonnen werden. Verluste durch vollständige Hydrolyse waren gering. R<sub>3</sub>SiOH wird erst durch längeres Erwärmen mit konz. HCl (oder mit Eisessig bzw. Ameisensäure nach Gilman<sup>9</sup>) zu Kieselsäure hydrolysiert.

 $[(CH_3)_2NC_6H_4]_3SiOSi[C_6H_4N(CH_3)_2]_3$  löst sich etwas in Benzol, ist unlöslich in Äther. Die aus Benzol gewonnenen Kristalle schmelzen nicht scharf, sie verfärben sich ab  $250^\circ$  und sintern  $>330^\circ$  langsam zusammen. Analyse:  $C_{48}H_{60}ON_6Si_2$ , ber. — gef.: %C 72,68 — 72,28/72,27; %H 7,63—7,20/7,17; %N 10,60—10,39/10,39; %Si 7,08—7,14. Das Molekulargewicht ließ sich leider kryoskopisch nicht ermitteln, da die Löslichkeit der Substanz in Benzol, Naphthalin, Campher, Dimethylanilin, Dioxan und Nitrobenzol zu gering war.

#### 8. Tris-(p-dimethylaminophenyl)-silazan

Darstellung: In einem Einschlußrohr wurden auf 1 g  $R_3$ SiCl etwa 30—40 ml trockenes  $NH_3$  kondensiert, abgeschmolzen und unter gelegentlichem Umschütteln 48 Stunden stehengelassen, wobei die wohlausgebildeten Kristalle des  $R_3$ SiCl ohne Verfärbung zerfielen. Nach Öffnen und Abdampfen des  $NH_3$  wurde der Inhalt mit abs. Äther extrahiert: im Extrakt fand sich das Silazan mit 95% Ausbeute, der Rückstand war  $NH_4$ Cl.

 $[(CH_3)_2NC_6H_4]_3SiNH_2$  ist weiß, kristallin, gut löslich in Dioxan, CHCl<sub>3</sub>, Benzol, wenig in Äther, unlöslich in Petroläther. Der Schmelzpunkt ist nicht scharf, bei 170° tritt starkes Sintern unter gleichzeitiger NH<sub>3</sub>-Abspaltung und Bildung des Disilazans auf; die ab 195° klare Schmelze erstarrt nach einiger Zeit bei 200–220°. Analyse:  $C_{24}H_{32}N_4Si$ , ber. — gef.: %N 13,88—13,84/13,75; %Si 6,93—6,80/6,72.

#### 9. Hexakis-(p-dimethylaminophenyl)-disilazan

Darstellung: 0.5 g  $R_3 SiNH_2$  wurden in einem kleinen Kölbehen bei 3 Torr geschmolzen und so lange  $NH_3$  abgepumpt, bis keine Gasentwicklung mehr zu beobachten und die ganze Masse wieder erstarrt war. Nach Lösen des gelblichen Reaktionsproduktes in Benzol, Filtration von Verunreinigungen und langsamem Eindampfen schieden sich Kristalle ab, die erneut aus Benzol umkristallisiert wurden. Ausbeute 0.3 g. In den Mutterlaugen befand sich noch unumgesetztes  $R_3 SiNH_2$ .

 $[(CH_3)_2NC_6H_4]_3SiNHSi[C_6H_4N(CH_3)_2]_3$ , ein weißes, feinkristallines Pulver aus Benzol, verfärbt sich ab 250°, sintert bei 280° und ist bei 340° noch nicht vollständig ge-

schmolzen. Analyse:  $C_{48}H_{61}N_7Si_2$ , ber. — gef.: %N 12,38—12,17; %Si 7,09—7,28; Mol. 792,1—725 (in Campher).

## 10. Umsetzungen des Silicokristallvioletts in flüssigem SO<sub>2</sub>

- a) Das Solvat [(CH<sub>3</sub>)<sub>2</sub>NC<sub>6</sub>H<sub>4</sub>]<sub>3</sub>SiCl·3 SO<sub>2</sub>: SO<sub>2</sub> konnte aus einem Vorratsgefäß mit fl. SO<sub>2</sub> zu 0,8461 g R<sub>3</sub>SiCl (1,995 mMol) in einem evakuierten, auf 0° gekühlten Uförmigen Absorptionsröhrchen langsam zutreten, wobei der SO<sub>2</sub>-Druck durch ein HgTauchrohr auf Atmosphärendruck geregelt werden konnte. Nach etwa 12 Stunden war Gewichtskonstanz des Absorptionsröhrchens eingetreten, das weiße, kristalline R<sub>3</sub>SiCl zu einem gelbbraunen Pulver zerfallen, wobei es 0,4030 g SO<sub>2</sub> aufgenommen hatte. Das entspricht einem Verhältnis 1 R<sub>3</sub>SiCl: 3,15 SO<sub>2</sub>; je eine Dimethylaminogruppe bindet also 1 SO<sub>2</sub>. Das Solvat zerfällt bei Raumtemperatur in offenem Gefäß innerhalb eines Tages wieder vollständig in seine Komponenten.
- b) Eigenschaften der Lösung des  $R_3SiCl$  in  $SO_2$ : Silicokristallviolett löst sich in fl.  $SO_2$  mit intensiv gelber Farbe. Bei  $-35^{\circ}$  tritt keine Umsetzung auf, nach Abdampfen des  $SO_2$  liegt wieder reines  $R_3SiCl$  vor (vgl. Tabelle 1). Erwärmt man jedoch die Lösung im Einschlußrohr 24 Stunden lang auf Raumtemperatur, so wird die Farbe schmutzigdunkelgrün, nach Abpumpen des  $SO_2$  bleiben gelbbraune Krusten gleicher analytischer Zusammensetzung, aber von anderem Schmelzpunkt als das Ausgangsprodukt zurück (Tabelle 1).

Versuchs-SO<sub>2</sub> abde-Temp. %Si %Cl dauer stilliert Schmp. Si:CI (Std.) bei 32) Ausgangssubstanz R<sub>3</sub>SiCl 2266.98 8,79 1.004 24 -35° -35° a) Versuch I... 223 6,96 8,74 1,009  $+20^{\circ}$ b) Versuch II 24 ---10° ~150° 6,888,19 1,063

Tabelle 1 Verhalten von R<sub>3</sub>SiClin fl. SO<sub>2</sub>

Die Lösung des  $R_3$ SiCl zeigte bei  $-35^\circ$  innerhalb von 24 Stunden keine Einwirkung auf ein als Anode (siehe Kap. 10 c) verwendetes Ag-Blech, auch blieb die Farbtiefe der Lösung unverändert.

c) Elektrolyse des  $R_3$ SiCl in  $SO_2$ : In einem Elektrolysiergefäß von 20 ml Inhalt ( $\sim 30$  g  $SO_2$  bei  $-35^\circ$ ) mit Platinblechkathode und an einem Platindraht befestigter Silberanode wurde eine  $\sim 0.05$  molare Lösung des Silicokristallvioletts in fl.  $SO_2$  bei -35 bis  $-40^\circ$  und 240 V elektrolysiert. Schon bald nach Anlegen der Spannung überzog sich die Anode mit einem grauen, später rötlich werdenden Beschlag, die Farbe der Lösung im Anodenraum vertiefte sich, um den Platindraht bildete sich eine dunkelgrüne Wolke. Die Stromstärke zeigte über die Dauer der Elektrolsye (16 Std.) einen deutlichen Gang mit einem Maximum (2-10-4 mAmp), das Absinken stand in deutlichem Zusammenhang mit der zunehmenden Bedeckung des Silberblechs. Die Zunahme der Leitfähigkeit ist vielleicht in der Bildung von  $SO_2Cl_2$  (vgl. S. 228), vielleicht auch in der Bildung von leitenden Chlorierungsprodukten des  $R_3$ SiCl begründet. Die Silberanode wurde nach Beendigung des Versuches mit Methanol und Äther gründlich abgespült, das gebildete AgCl mit verd. NH<sub>4</sub>OH herausgelöst. Der verbleibende schwarze Belag löste sich in gesättigter KCN-

<sup>&</sup>lt;sup>32</sup>) trockene Substanz weitere 10 Stunden bei +20° abgepumpt.

Lsg. auf und erwies sich als  $Ag_2S$ ; demnach müssen sich an der Anode recht verwickelte Reaktionen abgespielt haben. (In reinem  $SO_2$  blieb die Ag-Anode bei Elektrolyseversuchen völlig unverändert.) Der Elektrolyt zeigte nach Abdampfen der Hauptmenge des  $SO_2$  und Aufnehmen mit verd. HCl durch Fällung mit  $BaCl_2$  die Anwesenheit geringerer Mengen an  $SO_4^{--}$  (aus  $SO_2Cl_2$ ?) an.

d) Reaktion des R<sub>3</sub>SiCl mit NaJ in fl. SO<sub>2</sub>: NaJ löst sich in SO<sub>2</sub> bei 0° zu 150 g (1 Mol) pro 1000 g mit orangeroter Farbe, NaCl ist darin unlöslich. Leider bildet NaJ unterhalb 0° schwerlösliche Solvate mit SO2, so daß die Umsetzung bei Temperaturen vorgenommen werden mußte, bei denen R<sub>3</sub>SiCl dem SO<sub>2</sub> gegenüber nicht mehr stabil ist (vgl. Kap. 10b). Zu 4 g R<sub>3</sub>SiCl (0,01 Mol) und 3 g NaJ (0,02 Mol) wurden in einem Einschlußrohr 100 ml SO<sub>2</sub> destilliert, nach dem Abschmelzen 10 Minuten bis 1 Stunde auf Raumtemperatur gebracht. Es setzte sich bald ein weißer, feinkörniger Niederschlag von NaCl ab, die Lösung wurde schmutziggrün. Nach dem Abdestillieren des SO<sub>2</sub> bei -10° wurde noch 12 Stunden abgepumpt, der Inhalt des Rohres, eine grüne, harte, blasig erstarrte Masse, in einer Soxhletapparatur mit CHCl3 extrahiert. Aus der Lösung kristallisierten beim Einengen neben überwiegenden Mengen von teerigen Produkten schwach gelbliche Kristalle in einer Ausbeute von etwa 300 mg. Sie waren unlöslich in Äther, Dioxan, Benzol, CCl4, Petroläther und schmolzen, aus Acetonitril dreimal umkristallisiert, bei 163-164° unter Zersetzung. Der Analyse nach handelt es sich dabei um das bisher unbekannte Monohydrojodid des 4,4' Bis(-dimethylaminodiphenyläthers)  $(CH_3)_2N - C_6H_4 - O - C_6H_4 - N + CH_3)_2 \cdot HJ$ .  $C_{16}H_{21}ON_2J$  ber. - gef.: %C 50,05–49,48; %H 5,50-5,33; %N 7,40-7,36; %J 33,05-32,25; %Si 0,0-0,0. Es konnte mit verd. NH<sub>4</sub>OH leicht in den freien Äther übergeführt werden, der bei 121° schmolz. Ein Mischschmelzpunkt (122°) mit dem nach Holzmann<sup>33</sup>) über 2 (CH<sub>3</sub>)<sub>2</sub>NC<sub>6</sub>H<sub>5</sub> + SCl<sub>2</sub> -2 HCl (Schmp. 122°) bewies die Identität beider Produkte. Ebenso fielen folgende von Holz-MANN angegebenen Reaktionen positiv aus: A) salzsaure Lsg.  $+ H_2PtCl_6 \rightarrow O[C_6H_4N(CH_3)_2]_2$  $\cdot$  H<sub>2</sub>PtCl<sub>6</sub> hellgelber Niederschlag; B) salzsaure Lösung + wäßrige Pikrinsäurelösung  $\rightarrow$ C<sub>16</sub>H<sub>20</sub>ON<sub>2</sub> · 2 C<sub>6</sub>H<sub>2</sub>(NO<sub>2</sub>)<sub>3</sub>OH, reingelber Niederschlag, Schmp. 150°, gef. 149°. Als Mikromethode der Jodbestimmung bewährte sich eine der Zeiselschen Methoxylgruppenbestimmung nachgebildete Ausführung: 20 mg Substanz wurden in verd. H<sub>2</sub>SO<sub>4</sub> gelöst, mit NH<sub>4</sub>OH gefällt, der weiße unlösliche Niederschlag abfiltriert, das Filtrat zur Trockne eingedampft. Nach der Oxydation mit Br<sub>2</sub> in 10proz. NaCH<sub>3</sub>COO/CH<sub>3</sub>COOH-Lösung zum Jodat wurde überschüssiges Brom mit HCOOH fortgenommen, angesäuert, KJ zugesetzt und aus einer Mikrobürette mit  $n/10 \text{ Na}_2\text{S}_2\text{O}_3$  titriert.

#### 11. Doppelte Umsetzungen des R<sub>3</sub>SiCl

Von den in Kap. 4 erwähnten Umsetzungen sollen hier nur 2 herausgegriffen werden  $^{26}$ ) a) AgClO<sub>4</sub> + R<sub>3</sub>SiCl: in Acetonitril gelöst fällt beim Zusammengeben beider Substanzen spontan ein Niederschlag von AgCl, doch konnten auch bei vorsichtigem Abdampfen des Acetonitrils, bei dem sich die Flüssigkeit bald dunkelgrün färbte, nur schmierige Produkte erhalten werden, die sich nicht weiter aufarbeiten ließen. Ebenso fiel aus benzolischer Lösung (je 0,04 Mol in 160 ml) sofort AgCl, daneben jedoch ein weiterer gelblicher Niederschlag, der in der Flamme verpuffte, leicht löslich in Aceton, unlöslich in Benzol, Äther. Dioxan, CHCl<sub>3</sub> und CCl<sub>4</sub> war, sich nicht rein umkristallisieren ließ und vermutlich als Hauptbestandteil Dimethylphenylammoniumperchlorat (gef. 5,55% N) enthielt. b) Ba(ClO<sub>4</sub>)<sub>2</sub> + 2 R<sub>3</sub>SiCl: Ba(ClO<sub>4</sub>)<sub>2</sub> löst sich in Aceton sehr gut (55 g/100 ml), R<sub>3</sub>SiCl hin-

<sup>33)</sup> E. HOLZMANN, Ber. dtsch. chem. Ges. 21, 2056 (1888).

reichend gut, BaCl<sub>2</sub> dagegen nicht. Beim Zusammengeben äquivalenter Mengen der Ausgangsstoffe (~ 1 mMol in 50 ml) fällt spontan ein weißer Niederschlag von BaCl<sub>2</sub> mit über 90% der erwarteten Menge. Das Abdampfen des Acetons hinterläßt ein Öl, unlöslich in Benzol, Äther, CHCl<sub>3</sub>, CCl<sub>4</sub>, Dioxan, Petroläther. Es erstarrt beim Zugeben weniger Tropfen Äther kristallin und verpufft in der Flamme unter Ausstoßen schwarzer Rußwolken. Das bei 70° unter starkem Aufblähen teilweise schmelzende Produkt (gef. %N 6.7-7,5%, %Si 9-9,5%, ber. für R<sub>3</sub>SiClO<sub>4</sub> 8,6 bzw. 5,7%) ließ sich jedocl durch Umkristallisation nicht reinigen, es zersetzte sich jedesmal zu öligen, nicht wieder kristallisierenden Stoffen. Auch die Umsetzung der Ausgangsstoffe in Acetonitril oder Cyclohexanon führte zu  $BaCl_2$ , ohne daß aus den Lösungen das  $R_3SiClO_4$  isoliert werden konnte. Aus der Umsetzung in Isopropanol ließ sich neben BaCl2 eine weiße, kristalline Substanz gewinnen, die in der Flamme verpuffte, in H<sub>2</sub>O, Alkohol, CHCl<sub>3</sub> und Aceton gut, in Äther schlecht löslich war und bei 80-81° schmolz. Es handelte sich hierbei um das Dimethylphenylammoniumperchlorat [(CH<sub>3</sub>)<sub>2</sub>(C<sub>6</sub>H<sub>5</sub>)NH]ClO<sub>4</sub> (%N ber. — gef.: 6,33—6,20/6,59; Mischschmelzpunkt 81° mit einem aus Dimethylanilin und HClO<sub>4</sub> dargestellten Produkt vom Schmp. 82°). Von den beiden konkurrierenden Reaktionen  $R_3SiCl + C_3H_7OH \rightarrow HCl +$  $R_3SiOC_3H_7$  und  $R_3SiCl + ClO_4^- \rightarrow Cl^- + R_3SiClO_4$  ist demnach die letztere offensichtlich bevorzugt gewesen, da sich in den Reaktionsprodukten nur die Zersetzungsprodukte des  $\mathrm{R_{3}SiClO_{4}}$  befanden. Die solvolytische Zersetzung des  $\mathrm{R_{3}SiClO_{4}}$  könnte wahrscheinlich auf folgendem Wege ablaufen:

$$\begin{split} R_3 SiClO_4 \rightarrow R_3 Si^+ + ClO_4^-; \ R_3 Si^+ + C_3 H_7 OH \rightarrow & \left\{ R_3 Si^+ \leftarrow O \left\langle \begin{matrix} C_3 H_7 \\ H \end{matrix} \right. \right\} \rightarrow \\ & \left\{ R_2 Si^+ OC_3 H_7 \right\} + RH \ usw.; \ \left\{ R_2 SiOC_3 H_7^+ \right\} + C_3 H_7 OH \rightarrow R_2 Si(OC_3 H_7)_2 + H^+; \\ & RH + H^+ + ClO_4^- \rightarrow RH_2 \ ClO_4 \ (Dimethylphenylammonium perchlorat) \end{split}$$

Gesamt:  $R_3SiClO_4 + (4-n) R'OH \rightarrow R_nSi(OR')_{4-n} + H ClO_4 + (3-n) RH$  für n=0 bis 3 und R'=Alkyl- oder H.

Zur völligen solvolytischen Umsetzung eines aus 5 mMol (2,12 g)  $R_3$ SiCl dargestellten  $R_3$ Si-Salzes genügen schon 20 mMol = 360 mg Wasser, das entspräche 100 ml Aceton mit nur 0,5%  $H_2$ O, doch würden sich bereits 0,1%  $H_2$ O im Aceton störend bemerkbar machen. Die leichte Solvolysierbarkeit bedingt eine völlige Wasserfreiheit des für die doppelten Umsetzungen benötigten Lösungsmittels. Da jedoch auch Zersetzung des  $R_3$ Si<sup>+</sup>-Derivates bei Lösungsmitteln auftrat, die wasserfrei waren und selbst nicht solvolysierend wirken sollten (Benzol, Cyclohexanon), muß auf eine allgemeine Unbeständigkeit des  $R_3$ Si<sup>+</sup>-Kations geschlossen werden.

#### 12. Absorptionsspektren, Analysenmethoden, Schmelzpunkte

Die Extinktionswerte äquimolarer Lösungen  $(5 \cdot 10^{-5} \text{ mol.})$  von C- und Si-Kristallviolett in CHCl<sub>3</sub> wurden im Beckman-DU-Spektralphotometer mit 1 cm-Küvetten ermittelt; sie sind aus Abb. 2 zu ersehen. Die UR-Spektren von R<sub>3</sub>CCl und R<sub>3</sub>SiCl sind Messungen nach der KBr-Preßtechnik mit Perkin-Elmer-Doppelstrahlspektrophotometer und NaCl-Prisma  $(0,5 \text{ mg R}_3\text{CCl})$  in 300 mg KBr) entnommen (Abb. 4a). Die Spektren der Abb. 4b bis 4i stammen von Aufnahmen mit dem Baird Associates Doppelstrahl UR-Spektrophotometer (Modell B) mit NaCl-Prisma und KBr-Preßtechnik unter folgenden Versuchsbedingungen: (Formel — Zelldicke — % in KBr) R<sub>3</sub>SiCl; 0,44mm; 0,5% — R<sub>4</sub>Si; 0,56 mm; 0,5% — R<sub>3</sub>SiOH; 0,49 mm; 0,5% — R<sub>3</sub>SiOCH<sub>3</sub>; 0,41 mm; 1,0% — (R<sub>3</sub>Si)<sub>2</sub>O; 0,25 mm; 1,0% — R<sub>3</sub>SiNH<sub>2</sub>; 0,46 mm; 1,0% — (R<sub>3</sub>Si)<sub>2</sub> NH; 0,64 mm; 0,5% — R<sub>3</sub>SiH; 0,49 mm; 1,0%. Über die Lage der Absorptionsbanden von C- und Si-Kristallviolett, verglichen mit der von Dimethylanilin und Siliciumtetraphenyl, orientiert Tabelle 2.

Tabelle 2 Lage und Intensität der Absorptionsmaxima von R<sub>3</sub>SiCl, R<sub>3</sub>CCl, Si(C<sub>6</sub>H<sub>5</sub>)<sub>4</sub> und RH

Wellenlänge	R <sub>3</sub> CCl		R <sub>3</sub> SiCl		$\mathrm{Si}(\mathrm{C_6H_5})_4$		$(\mathrm{CH_3})_2\mathrm{NC_6H_5}$	
$\mu$	$\Delta \mu$	I	$\Delta\mu$	I	$\Delta \mu$	I	$z^{A}\mu$	I
3,00		m	+0.03	m				
3,50		s	+0,02	m	-0.05	sst	0	st
4,00			, ,,,,	s				
4,15				s				
6,33		sst	-0.05	sst			0,09	sst
6,60		s	+0.02	sst			+0,05	sst
6,77		s		m	-0.04	m	, -,	
6,95		SS	-0.02	st	+0.05	st	-0.05	st
7,39		sst	Í	sst			+0,05	sst
7,75		m	+0,10	s		_	. ,	<u> </u>
9,19		ss	+0.02	m			0,05	st
8,33		_		st			+0.06	st
8,55		st			-0.08	s	+0.04	st
8,90		m				—	+0.07	m
9,00	}			sst		sst	-	<u> </u>
9,42		ss		s		s		m
9,84				ss				
9,96				s	+0.02	S	+0,10	st
10,65	ŀ	s	0,06	s				st
11,00		SS						
11,15	1			ss				
11,65				s		_	-0,05	s
12,08	-	SS						
12,30				st				
12,55		ss						
12,96				m				
13,20		SS						sst
13,48		ss			0,03	m	+0.08	sst
13,86		s	-0.02	ss			_0,10	

Intensität I: ss = sehr schwach; s = schwach; m = mittel; st = stark; sst = sehr stark.

Die Analysen für C, H und N wurden nach den üblichen Methoden der Elementaranalyse durchgeführt, Si als SiO<sub>2</sub> bestimmt, Cl gravimetrisch, OCH<sub>3</sub> nach Zeisel quantitativ ermittelt. Die Angaben über Molekulargewichtsbestimmungen und eine Mikromethode zur Jodbestimmung finden sich im Text. Die Schmelzpunkte wurden, teils im verschlossenen Röhrchen, in einer Mikroschmelzpunktsapparatur nach Kopler aufgenommen und sind korrigiert.

Herrn Prof. Dr. R. Schwarz möchten wir für die Unterstützung mit Institutsmitteln, der Deutschen Forschungsgemeinschaft für eine Sachspende herzlich danken.

Aachen, Institut für Anorganische Chemie und Elektrochemie der Rhein.-Westf.-Techn. Hochschule.

Bei der Redaktion eingegangen am 19. März 1955.

Verantwortlich für die Schriftleitung: Professor Dr. Günther Rienäcker, Berlin N 4, Hessische Str. 1-2; für den Auzeigenteil: VEB Georg Thieme, Anzeigenabteilung, Leipzig C 1, Hainstr. 17-19, Aufg. C, Ruf 21 981. Z. Z. gilt Anzeigenapreisliste Nr. 3; Verlag: Johann Ambrosius Barth, Leipzig C 1, Salomonstraße 18 B; Fernruf: 63 105 und 63 781. Veröffentlicht unter der Lizenznummer 285/1261 des Amtes für Literatur und Verlagswesen der Deutschen Demokratischen Republik Printed in Germany Druck: Paul Dünnhaupt, Köthen (IV/5/1) L 136/55